DOI:10. 16781/j. 0258-879x. 2017. 06. 0720

· 考题报道 ·

# 主被动双靶向纳米凝胶递送 RRM2-siRNA 的体外抗肿瘤效应

张 莉,王 颖,金 崇,董 霞,李 威\*

第二军医大学国际合作肿瘤研究所,上海 200433

[摘要] **16** 制备靶向输送针对核糖核苷酸还原酶 RR 小亚基 M2 (RRM2)的 siRNA (RRM2-siRNA)的聚 N-异丙基丙烯酰胺/聚乙烯亚胺(PNIPAM/PEI)纳米凝胶,通过研究其体外的抗肿瘤效应,以期构建新型靶向纳米凝胶递送基因系统。 **分法** 采用自由基接枝共聚合 (radical graft copolymerization)反应制备具有"核-壳"结构的PNIPAM/PEI 聚阳离子温度敏感型纳米凝胶,评价其粒径、zeta 电位等理化性质;根据电荷相互作用原理,并通过偶联抗人表皮生长因子受体 2 (Her2)抗体,形成包裹 RRM2-siRNA 的靶向性 PNIPAM/PEI-siRNA 纳米凝胶复合体。利用凝胶电泳确定 PNIPAM/PEI-siRNA 纳米凝胶复合体包裹 siRNA 效果,通过荧光显微镜定性观察和流式细胞术定量检测人胃癌细胞 NCI-N87 对该纳米凝胶复合体的摄取情况,利用 qPCR 法检测该纳米凝胶递送 siRNA 后靶基因 RRM2的表达情况,用 Transwell 法检测该纳米凝胶复合体对 NCI-N87 细胞迁移的影响。 **结果** 本研究合成具有"核-壳"结构的温度敏感型 PNIPAM/PEI 纳米凝胶,颗粒均匀,粒径为 359.8 nm, zeta 电位为 21.4 mV。在此基础上,我们制备出靶向凝胶包裹 RRM2-siRNA 的纳米凝胶复合体,确定最佳包裹比例为 N/P=60 (N/P:聚阳离子纳米凝胶中氨基与质粒 DNA 中磷酸基的摩尔比)。不同温度下(37 ℃、42 ℃)细胞内吞实验证实,该纳米凝胶复合体具有良好的靶向性和温度响应性,且可以下调靶基因 RRM2 的表达,抑制 NCI-N87 细胞的迁移。 **结论** 成功制备抗体靶向的 PNIPAM/PEI 聚阳离子温度敏感型纳米凝胶,其可以结合并投递 siRNA 进入靶细胞,该纳米复合体可以作为新型抗肿瘤基因治疗的给药系统。

[关键词] 纳米凝胶;抗体靶向;温度响应性;药物递送系统;小分子干扰 RNA

[中图分类号] R 943.42

[文献标志码] A

「文章编号」 0258-879X(2017)06-0720-07

### In vitro anti-tumor effect of RRM2-siRNA based on active and passive dual targeted nanogel

ZHANG Li, WANG Ying, JIN Chong, DONG Xia, LI Wei\*

International Joint Cancer Institute, Second Military Medical University, Shanghai 200433, China

[Abstract] Objective To prepare antibody-targeting temperature-sensitive polylated N-isopropylacrylamide/polyethyleneimine (PNIPAM/PEI) nanogel for delivering siRNA against ribonucleotide reductase (RR) subunit M2 (RRM2, RRM2-siRNA) and to establish a new targeted nano-gel delivery system for anti-tumor therapy by studying its anti-tumor ability in vitro. Methods We synthesized the core-shell temperature-sensitive PNIPAM/PEI nanogel by radical graft copolymerization and evaluated its chemo-physical properties (such as, size and zeta potential) using transmission electron microscopy (TEM). According to the principle of charge interaction, the PNIPAM/PEI-siRNA nanogel encapsulated RRM2-siRNA was prepared by conjugating anti-human epidermal growth factor receptor 2 (Her2) antibody. The effect of PNIPAM/PEI-siRNA nanogel complex encapsulated siRNA was determined by agarose gel electrophoresis. The in vitro uptake of NCI-N87 cells by nanogel complex was quantitatively observed by fluorescence microscopy and flow cytometry (FCM). The expression of RRM2 after RRM2 interference using nanogel-siRNA complex in NCI-N87 cells was tested by realtime PCR. The tumor migration suppressing effect of the nanogel complex on Her2-positive tumor cells was determined by Transwell assay. Results The core-shell temperature-responsive PNIPAM/PEI nanogel was synthesized by radical graft copolymerization, with homogeneous size of 359, 8 nm, and zeta

[收稿日期] 2017-05-10 [接受日期] 2017-06-02

[基金项目] 国家自然科学基金(31470964,81171450). Supported by National Natural Science Foundation of China (31470964, 81171450).

[作者简介] 张 莉,硕士,研究实习员. E-mail: lyleechang@163.com

<sup>\*</sup>通信作者 (Corresponding author). Tel: 021-81870804, E-mail: liwei@smmu. edu. cn

potential of 21. 4 mV. Furthermore, the nanogel complexes encapsulated RRM2-siRNA with different ratios of N/P (N/P ratio; the molar ratio of nitrogen-from-polyethylenimine to phosphate-from-RNA) were prepared and the electrophoresis results showed that the optimal N/P ratio was 60. The cellular uptake experiment showed that the nanogel had good temperature sensitivity and tumor targeting ability at different temperatures (37  $^{\circ}$ C, 42  $^{\circ}$ C); and the nanogel complex down-regulated the expression of *RRM2* and inhibited the migration of NCI-N87 cells. **Conclusion** The antibody-targeting temperature-sensitive PNIPAM/PEI nanogel is successfully prepared, and it can bind and deliver siRNA into target cells and can be used as a new drug delivery system for anti-tumor therapy.

[Key words] nanogel; antibody-targeting; temperature-response; drug delivery system; small interfering RNA

[Acad J Sec Mil Med Univ, 2017, 38(6): 720-726]

肿瘤的基因治疗正日益受到科学家的普遍关注 和重视,如何将基因精准高效地投递到靶细胞进行 靶向基因修改就成为制约其应用的关键瓶颈之 一[1-3]。传统的方法转染效率较高,但是对技术和设 备要求很高,并且只能在皮肤、肌肉等有限的组织中 应用,对靶细胞或靶组织也有一定损害,无法在体内 进行;病毒载体也存在靶向性差、高免疫原性等缺 陷,而且病毒载体的安全性问题也备受争议;以阳离 子脂质体(liposome)为代表的非病毒载体克服了病 毒载体安全性等问题,但是其血清稳定性差、载体体 系组成复杂、结构尺寸分布宽,导致其转染效率偏 低,也降低了其临床应用价值。随着近年来纳米技 术与生物医学的结合和发展,设计并制备结构简单、 形态可控、体内外稳定、转染效率高、特异性靶向的 新型非病毒纳米载体投递基因有望实现基因治疗的 精准靶向给药[4-6]。

针对肿瘤微环境局部温度偏高的特点[7-8],我们 参考文献[9]的方法设计了以温度敏感型高分子聚 N-异丙基丙烯酰胺[poly(N-isopropylacrylamide), PNIPAM]为材料,通过与聚乙烯亚胺 (polyethyleneimine, PEI)反应形成侧链生长出温敏 聚合物的接枝共聚物,然后聚合物在高温条件下自 组装为具有"核-壳"结构的 PNIPAM/PEI 聚阳离子 温度敏感型纳米凝胶。纳米凝胶是一类直径为 1 nm~1 μm 的水凝胶纳米粒子,由于纳米凝胶粒径 小、高渗透和滞留(enhanced permeability and retention, EPR)效应强,可以有效地逃避脾滤过,并 且可穿过生物膜屏障到达传统药物无法到达的部 位;纳米凝胶药物递送系统还可以延长血液循环时 间、增加靶组织的累积,从而实现基因的有效递送, 并可根据在生物体中所处的环境实现可控释放。同 时由于纳米凝胶表面效应大,可通过装载目的基因 实现基因的靶向传送与表达。

利用肿瘤细胞表面的特异性高表达分子,通过

抗体特异识别抗原的原理,将抗体偶联到纳米载体上是提高肿瘤靶向治疗的一个很好的策略。考虑到人表皮生长因子受体 2 (human epidermal growth factor receptor-2, Her2)基因可在约 15%~30%的乳腺癌和 10%~30%的胃/食管癌扩增或过表达<sup>[10-11]</sup>,且 Her2 过度表达还可见于卵巢癌、子宫内膜癌、膀胱癌、肺癌、结肠癌等<sup>[12-14]</sup>,我们拟设计在上述温度敏感性的纳米凝胶偶联上针对 Her2 的抗体,以实现对 Her2 阳性表达的肿瘤细胞进行主动靶向识别。

本研究中我们利用制备的纳米凝胶作为药物递 送系统,递送的目的基因是核糖核苷酸还原酶小亚 基 M2(ribonucleotide reductase subunit M2, RRM2)的 siRNA(RRM2-siRNA)。RRM2 参与调控 DNA 合 成和修复,对细胞分裂、增殖及分化具有重要作用, **《日》 11 为肿瘤细胞增殖所必需**[15]。肿瘤大数据库分析和 临床样本检测表明, RRM2 在多种肿瘤中高表 达[16],且 RRM2 表达水平与患者预后呈负相关[17]。 因此,RRM2是治疗肿瘤的一个重要靶点。本实验 将具有"核-壳"结构的 PNIPAM/PEI 聚阳离子温度 敏感型纳米凝胶通过电荷相互作用与 RRM2siRNA 形成 PNIPAM/PEI-siRNA 纳米凝胶复合 体,进一步通过偶联抗-Her2 抗体,借助抗体的主动 靶向作用和温度敏感性的被动靶向,实现对 Her2 阳性肿瘤细胞的精准双靶向给药,以提供一种增强 抗肿瘤基因治疗效果的纳米靶向治疗策略。

## 1 材料和方法

1.1 主要试剂和细胞株 聚乙烯亚胺(PEI,相对分子质量 25 000,美国 Sigma-Aldrich 公司); N-异丙基丙烯酰胺(NIPAM)、叔丁基过氧化氢(TBHP)和N,N'-亚甲基双丙烯酰胺[BIS; 梯希爱(上海) 化成工业发展有限公司];正己烷(上海安谱科学仪器有限公司);甲醇、盐酸等(国药集团化学试剂有限公

司);异硫氰酸荧光素(FITC,美国 Sigma-Aldrich 公司);胎牛血清和 DMEM 培养基(美国 Gibco 公司); CCK-8 试剂盒(日本 Dojin 化学研究所);巯基化的 抗-Her2 抗体本研究所自制。人胃癌细胞株 NCI-N87 购自美国 ATCC。

- 1.2 主要仪器 IKA®C-MAG MS7 搅拌器(德国 IKA公司);精密天平(日本 SHIMADZU 公司);Confocal(德国 Leica公司);Zeta sizer 3000HS 激光粒度分析仪(英国 Malvern公司);流式细胞仪(美国 Becton Dickinson公司);Olympus IX71 荧光显微镜(日本 Olympus公司);IVIS® Lumina II 小动物活体成像仪(美国 Caliper公司);Leica CM1850 冷冻切片机(德国 Leica公司)。
- 1.3 纳米凝胶的制备 PNIPAM/PEI 聚阳离子温度敏感型纳米凝胶的制备工艺采用活性自由基聚合 (RAFT)和开环聚合(ROP)法。精密称取 0.8 gPEI 和 0.6 gNIPAM 晶体溶解到 50 mL PBS,用盐酸调 pH 至 7 并搅拌混匀;向体系中加入 TBHP 封闭环境下继续反应 4 h;收集制备的凝胶,于 37 C用高速冷冻离心机纯化凝胶,15 000×g离心 15 min;取 30 mL MilliQ-water 重新溶解凝胶沉淀,即得PNIPAM/PEI 聚阳离子纳米凝胶。
- 1.4 纳米凝胶表征的测定
- 1.4.1 凝胶的形态分析 采用透射电子显微镜 (TEM)观察纳米凝胶的形态。TEM 样品准备:在 铜网上面滴 1 滴纳米凝胶溶液,然后用 2%磷钨酸 (PTA)染色,待干。用 Hitachi H-600 TEM(加压到 75 kV)检测并拍照。
- 1.4.2 粒径分布及电位测定 采用激光粒度分析 仪考察纳米凝胶的粒径分布及电位大小。将新制备 的纳米凝胶溶液加入适量的水稀释。由于纳米凝胶 的浓度对粒径的测定结果有一定影响,稀释倍数以 1 mg/mL为准计算,稀释后取 80 μL 置于样品池中 进行粒径分布及电位测定。
- 1.4.3 纳米凝胶的生物相容性 用 CCK-8 试剂盒 检测 PNIPAM/PEI 纳米凝胶对细胞增殖的影响,评 价纳米凝胶载体的生物相容性。选取对数生长期的 NCI-N87 细胞株以每孔 5 000 个细胞在 96 孔板铺 板过夜培养,用含 10 %胎牛血清的细胞培养液分别 稀释 PNIPAM/PEI 纳米凝胶、PNIPAM、PEI 至不 同浓度,然后每孔 100 μL 加入 96 孔板,继续培养 24 h后吸弃原培养液,PBS 洗 2 次,加入新配制的 CCK-8 检测液,孵育 2 h 后使用酶标仪在 450 nm 处 分别读取样品孔和对照孔的光密度(D)值,计算细

胞存活率。

- 1.5 PNIPAM/PEI-siRNA 纳米凝胶复合体的制备 1.5.1 PNIPAM/PEI 纳米凝胶包裹 siRNA 形成凝胶复合体 将 PNIPAM/PEI 纳米凝胶用去离子水稀释,分别与 RRM2-siRNA 按 N/P(聚阳离子纳米凝胶中氨基与质粒 DNA 中磷酸基的摩尔比)为 5、15、30、60、75 和 120 混合均匀,室温静置 4 h,得到 PNIPAM/PEI-siRNA 纳米凝胶复合体。
- 1.5.2 电泳分析 PNIPAM/PEI-siRNA 纳米凝胶复合体 用琼脂糖凝胶电泳阻滞实验对制备出的不同 N/P(5、15、30、60、75、120)的 PNIPAM/PEI-siRNA 纳米凝胶复合体,点样电泳,确定最佳包裹比例。然后根据最佳的包裹比例,进行 RNase 诱导的解聚稳定性测试:取凝胶复合体 N/P 为 75、60、30的样品,加入 RNase 37 ℃酶切 5 min,70 ℃终止酶切,将样品均分为 2 份,一份为 RNase 酶切样品,另外一份加入肝素钠解聚,点样电泳。
- 1.6 纳米凝胶复合体的靶向抗体修饰 将PNIPAM/PEI-siRNA 纳米凝胶复合体与巯基化的抗-Her2 抗体混匀,室温静置 6 h后,将溶液置于相对分子质量为 300 000 的透析膜透析以除去游离抗体,实现纳米凝胶复合体靶向抗体的修饰。同时制备用小牛血清白蛋白(BSA)修饰包裹 siRNA 的非靶向纳米凝胶复合体,方法同上。
- 1.7 靶向纳米凝胶复合体的细胞内吞实验 用包裹荧光素 FAM 标记 siRNA(FAM-siRNA)的靶向纳米凝胶复合体转染 NCI-N87 细胞,用荧光显微镜定性观察转染情况;流式细胞术定量检测细胞对纳米凝胶内吞情况,并验证其温度敏感性。以每孔为5×10<sup>4</sup> 个 NCI-N87 细胞在 48 孔板铺板过夜培养。然后用包裹 500 nmol/L FAM-siRNA 的靶向纳米凝胶复合体(FAB-nanogel 组)转染细胞 24 h,分别置于 37 ℃、42 ℃ 孵箱孵育。设置对照组为连接BSA 的包裹 FAM-siRNA 的非靶向纳米凝胶复合体(BSA-nanogel 组)。然后吸弃细胞培养液,用胰酶消化,流式洗脱液处理后,用流式细胞术定量检测平均荧光强度。
- 1.8 qPCR 检测靶向纳米凝胶复合体对 RRM2 基 因沉默的影响 选取对数生长期的 NCI-N87 细胞 株以每孔 1×10<sup>5</sup> 个细胞在 24 孔板铺板过夜培养, 分别用包裹 RRM2-siRNA 的靶向纳米凝胶复合体 (FAB-nanogel-RRM2-siRNA 组)、包裹有随机阴性 对照 siRNA 序列(Neg-siRNA)的靶向纳米凝胶复 合体(FAB-nanogel-neg-siRNA 组)、连接 BSA 蛋白

的包裹 RRM2-siRNA 的非靶向纳米凝胶复合体 (BSA-nanogel-RRM2-siRNA 组)、连接 BSA 蛋白的包裹 Neg-siRNA 的非靶向纳米凝胶复合体 (BSA-nanogel-neg-siRNA 组)转染细胞,分别置于 37 °C、42 °C孵箱孵育。用 TRIzol 法提取总 RNA,并反转录成 cDNA,进行 qPCR 反应,并以 GAPDH 基因作为内参,检测 RRM2 基因的表达情况。引物序列: RRM2 Forward 5'-GAU UUA GCC AAG AAG UUC AGA-3'、Reverse 5'-UGA ACU UCU UGG CUA AAU CGC-3', GAPDH Forward 5'-AAG GTG AAT CGG AGT CAA-3'、Reverse 5'-AAT GAA GGG GTC ATT GAT GG-3'。

1.9 Transwell 实验观察靶向纳米凝胶复合体对肿瘤细胞迁移的影响 选取对数生长期的 NCI-N87细胞株,消化重悬。在 24 孔板下室加入 600 μL 的细胞培养液。Transwell 小室加入 250 μL 含细胞培养液稀释的包裹有 50 nmol/L RRM2-siRNA 的靶向纳米凝胶复合体 (FAB-nanogel-RRM2-siRNA组)或连接 BSA 蛋白的包裹 FAM-siRNA 的非靶向纳米凝胶复合体(BSA-nanogel组)的细胞悬液,分

别置于 37 ℃、42 ℃孵箱培养。转染 24 h 后,取出 Transwell 小室,弃去孔中培养液,用 PBS 洗 2 次,甲醇固定 30 min,将小室适当风干。用龙胆紫染色,并轻轻用棉签擦去上层未迁移的细胞,再用 PBS 洗 2 次。用显微镜观察细胞迁移的情况。

1.10 统计学处理 采用 Excel 进行数据处理,实验数据以 $\bar{x}\pm s$ 表示,两样本均数比较采用 t 检验。检验水准( $\alpha$ )为 0.05。

## 2 结 果

#### 2.1 纳米凝胶的表征

2.1.1 纳米凝胶的形态分析及生物相容性 如图 1A TEM 图片所示,本实验制备的 PNIPAM/PEI 聚阳离子纳米凝胶为"核-壳"结构,呈规整的球形,无粘连,分散性好,分布均一,大小较为均匀。由图 1B 可见,PNIPAM/PEI 聚阳离子纳米凝胶具有良好的生物相容性,低毒,具备良好载体的特征。图 1C 所示为 PNIPAM/PEI 聚阳离子纳米凝胶示意图:PNIPAM 为内核、PEI 为壳的"核-壳"结构。

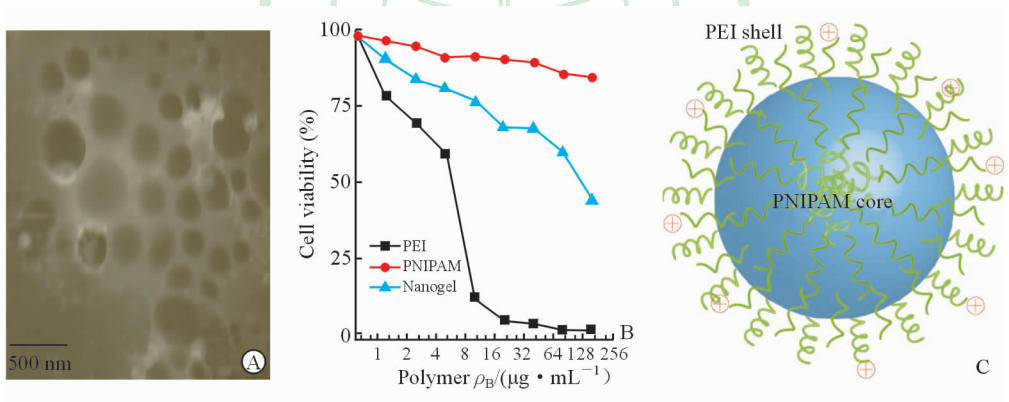


图 1 纳米凝胶透射电镜图(A)、生物相容性(B)和"核-壳"结构示意图(C)

Fig 1 Transmission electron microscope image (A), biocompatibility (B) and core-shell structure diagram (C) of nanogel A: Morphology of temperature-responsive and polycationic PNIPAM/PEI nanogel by transmission electron microscope (TEM); B: Viability of NCI-N87 cells cultured with PNIPAM/PEI nanogel; C: Schematic diagram of the core-shell structure. PEI: Polyethyleneimine; PNIPAM; Poly (N-isopropyl acrylamide)

2.1.2 粒径分布及电位 如图 2A 所示,采用纳米粒度仪测得粒径为 359.8 nm,粒径较小,分散性良好,有助于以纳米级别在体内通过 EPR 效应在肿瘤部位富集。图 2B 为采用纳米粒度仪测得的纳米粒子的 zeta 电位呈正电,为 21.4 mV,利于与 siRNA结合形成稳定的"凝胶-siRNA"复合体,更好地保护siRNA不受机体血浆或组织细胞中各种补体或其他酶类的攻击而被降解,从而有利于目的基因进入靶细胞后能更高效、更稳定地发挥作用。

2.2 纳米凝胶 PNIPAM/PEI 包裹 siRNA 形成

PNIPAM/PEI-siRNA 复合体 如图 3A 所示,不同 N/P(5、15、30、60、75、120)纳米凝胶 PNIPAM/PEI-siRNA 复合体对 siRNA 的包裹效果不同,随着 N/P 的增加凝胶结合 siRNA 的比例也相应增加,当 N/P 达 60 时,siRNA 几乎完全结合到纳米凝胶上。如图 3B 所示,取凝胶复合体 N/P 为 75、60 的样品加人 RNase 酶切,由于纳米凝胶对 siRNA 有保护作用,故 1a、2a 泳道未见 siRNA 的渗漏,仍保持完整性;在肝素钠解聚后,则在 1s、2s 泳道重新出现条带,说明该纳米载体能够较好地释放。

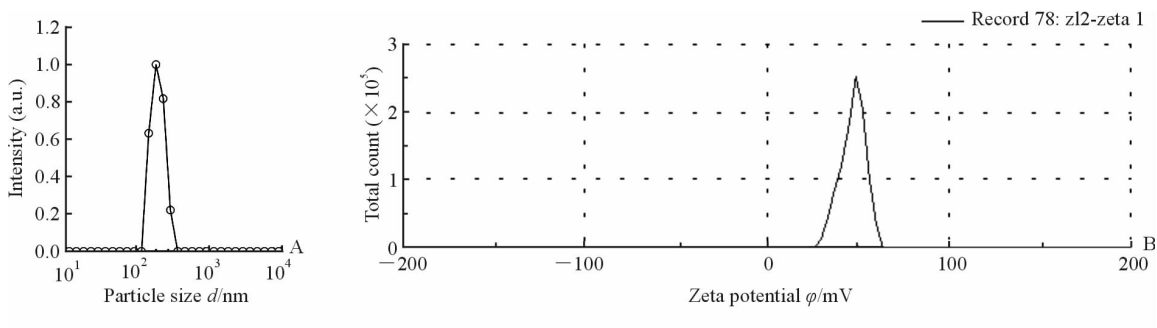


图 2 纳米凝胶的粒径分布(A)及电位大小(B)

Fig 2 Particle size distribution (A) and zeta potential (B) of nanogel

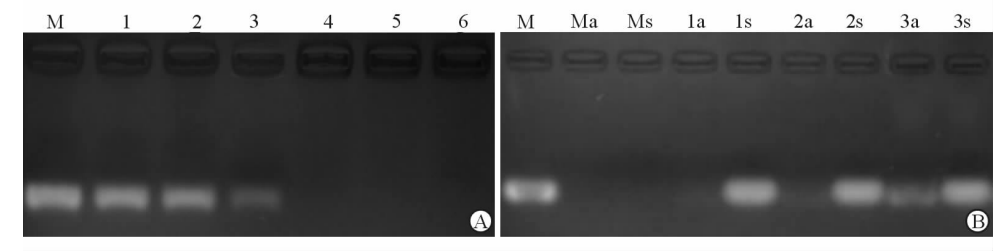


图 3 不同 N/P 的包裹 siRNA 聚阳离子纳米凝胶的电泳结果(A) 和酶切保护与释放结果(B)

Fig 3 Electrophoresis (A) and protection and release (B) results of siRNAs packed in nanogels with different N/P ratios In Fig 3A, M. Naked siRNA control; 1. N/P=5; 2. N/P=15; 3. N/P=30; 4. N/P=60; 5. N/P=75; 6. N/P=120. In Fig 3B, M. Naked siRNA control; 1. N/P=75; 2. N/P=60; 3. N/P=30; a. Samples treated with RNase; s. Samples treated with heparin. N/P. Ratio of nitrogen-from-polycationic nanogel to phosphate-from-DNA of plasmid

2.3 靶向纳米凝胶复合体的细胞内吞结果 采用 定性和定量的方法研究纳米粒子的体外细胞摄取, 图 4A 为荧光显微镜观察 NCI-N87 细胞对靶向纳米 凝胶复合体的内吞结果,由图可见,FAB-nanogel 组 随着培养温度的增加细胞内吞的靶向纳米凝胶复合 体的荧光增强,高于 BSA-nanogel 组。图 4B 为用流式细胞仪定量研究 NCI-N87 细胞对纳米粒子的摄取,结果与上述定性分析保持一致,这说明抗-Her2介导的主动靶向性促进了肿瘤细胞的内吞,而且纳米凝胶呈现较好的温度响应性。

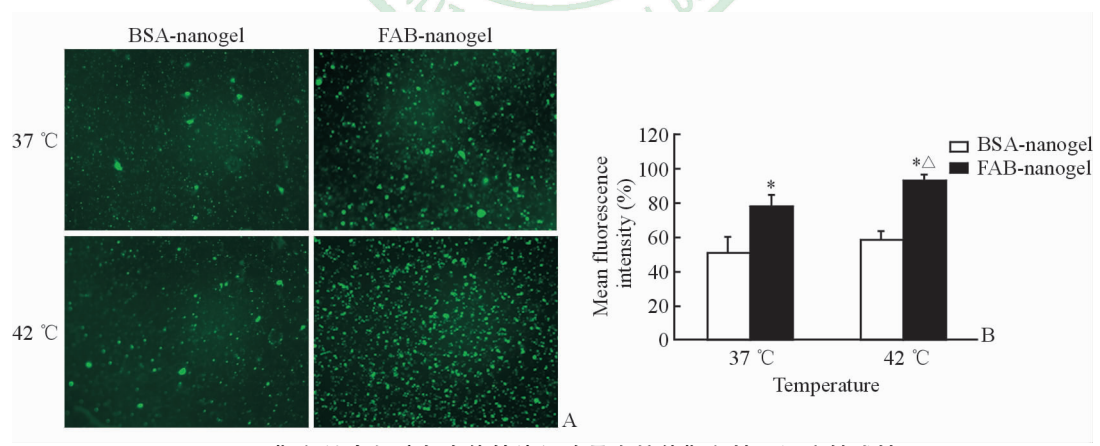


图 4 靶向纳米凝胶复合体转染细胞具有抗体靶向性及温度敏感性

Fig 4 Antibody targeting and temperature sensitive transfection of siRNA by our designed nanogel

A: Immunofluorescence pictures, siRNAs were labeled by FAM; B: Statistical results of transfection efficiency by cytoflowmetry. \* P < 0.05 vs BSA-nanogel group at the same temperature;  $\triangle P < 0.05$  vs FAB-nanogel group at 37 °C. Original magnification;  $\times 200$  (A). n=3,  $\bar{x}\pm s$ 

2.4 靶向纳米凝胶复合体对靶基因 RRM2 表达的影响 以 GAPDH 基因作为内参,采用 qPCR 方法检测 RRM2 基因的表达。由图 5 可以看出,包裹RRM2-siRNA 的非靶向纳米凝胶复合体 (BSAnanogel-RRM2-siRNA 组)在 37 ℃使 RRM2 基因表达下调到 BSA-nanogel-neg-siRNA 组的 79. 45%,

42 ℃下调到该组的 52. 89%,差异均有统计学意义 (P<0. 05);包裹 RRM2-siRNA 的靶向组纳米凝胶 复合体(FAB-nanogel-RRM2-siRNA 组)在 37 ℃使 RRM2 基因表达下调到 FAB-nanogel-neg-siRNA 组的 45. 72%,42 ℃下调到该组的 27. 63%,差异均有统计学意义(P<0. 05)。由此可见,包裹 RRM2-

siRNA 的靶向纳米凝胶复合体可以使 RRM2 基因表达降低,且具有温度响应性(在 42 ℃时下调较 37 ℃更明显,P<0.05)。

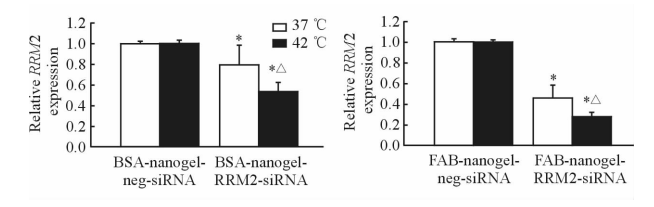


图 5 体外实验检测 RRM2 沉默效率 Fig 5 Efficiency of RRM2 interference by nanogel-siRNA complex in NCI-N87 cells

RRM2: Ribonucleotide reductase subunit M2. \* P < 0.05 vs negsiRNA group;  $\triangle P < 0.05$  vs 37 °C. n=3,  $\bar{x}\pm s$ 

2.5 靶向纳米凝胶复合体对 NCI-N87 细胞迁移的影响 如图 6 所示,包裹 siRNA 的靶向纳米凝胶复合体可以降低肿瘤细胞的迁移能力,且相对于正常体温环境的 37 °C,在 42 °C肿瘤模拟环境中纳米凝胶复合体对 NCI-N87 细胞迁移的抑制作用更加明显,说明该复合体具有温度响应性。同时该纳米凝胶复合体的抗肿瘤迁移效应也具有抗体靶向性,因为相对于没有偶联抗体的纳米凝胶(偶联 BSA,BSA-nanogel,偶联了抗体的纳米凝胶复合体(FAB-nanogel-RRM2-siRNA)更有效地抑制了 NCI-N87 细胞的迁移。

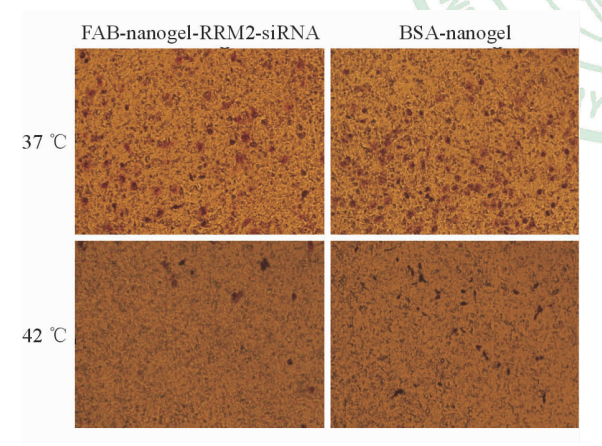


图 6 包裹 RRM2-siRNA 纳米凝胶对 NCI-N87 细胞 迁移的抑制作用

Fig 6 Tumor migration suppressing effect of the nanogel complex by *RRM2* interference in NCI-N87 cells

RRM2: Ribonucleotide reductase subunit M2. Original magnification: ×200

## 3 讨论

本研究采用自由基接枝共聚合反应的方法制备 具有"核-壳"结构的 PNIPAM/PEI 聚阳离子温度敏 感型纳米凝胶,并测得粒径为 359.8 nm,粒径较小, 有助于在纳米级别通过 EPR 效应在肿瘤部位富集, 具备良好的生物相容性,可以作为递送载体;zeta 电 位 21.4 mV,呈正电,利于与 siRNA 结合,通过电荷 作用可以包裹 RRM2-siRNA,形成稳定的"凝胶siRNA"复合体,更好地保护 siRNA 不受机体血浆 或组织细胞中各种补体以及其他酶类的攻击而降 解,从而有利于目的基因进入靶细胞后能更高效、更 稳定地发挥作用。细胞膜表面呈负电,带正电的纳 米凝胶的细胞内吞明显加快,表现出纳米凝胶良好 的被动靶向性。该纳米凝胶通过抗体的主动靶向修 饰,形成具有抗体主动靶向性的纳米凝胶复合体;通 过定性和定量分析了该复合体不同温度下(37℃和 42 ℃)的细胞内吞,可见该纳米凝胶复合体具有良 好的抗体主动靶向性和温度响应性。并且该靶向性 的纳米凝胶复合体还可以通过 siRNA 发挥基因治 疗的作用,通过体外实验发现其可以下调靶基因 RRM2 的表达和抑制 Her2 表达阳性的肿瘤细胞 (NCI-N87细胞)的迁移。在后续实验中,我们将对 其体内抗肿瘤活性进一步的探究。

纳米凝胶复合体由于 EPR 效应在肿瘤部位富 集,并通过抗体介导的内吞作用靶向性地进入肿瘤细 胞,到达溶酶体后,由于胞内溶酶体的 pH 低于 6,强 酸性条件引起了纳米凝胶复合体表面 PEI 的质子化, 导致链伸展。质子化后的 PEI 外壳对核酸药物的物 理包覆能力减弱,并促使溶酶体膜破裂,释放包裹的 siRNA 发挥靶向基因治疗作用。其具体的作用机制 如图 7 所示,通过主、被动靶向协同作用的纳米凝胶 递送系统可以有效地提高药物运输效率并增强治疗 效果。所以,基于纳米颗粒的药物投递系统可以提高 肿瘤治疗的效率[18],有如下几个方面优势:(1)位点特 异性地投递药物或基因等;(2)具有更好的体外和体 内稳定性;(3)减少不良反应及具有对药物释放的可 控性。而且,随着纳米载体工程技术的发展,纳米载 体的结构可被很好地修饰,如抗体修饰纳米颗粒可以 实现主动靶向的目的。综上所述,本研究所制备的具 有温度响应性和抗体靶向的"核-壳"结构纳米凝胶具 有主、被动协同靶向性能,可以通过包裹、共价连接或 吸附化疗药物或者核酸药物,实现靶向特异输送核酸 药物到达肿瘤细胞和肿瘤组织,减少不良反应的发 生,是良好的肿瘤基因治疗给药递送载体,具有良好

的临床基因治疗应用价值。

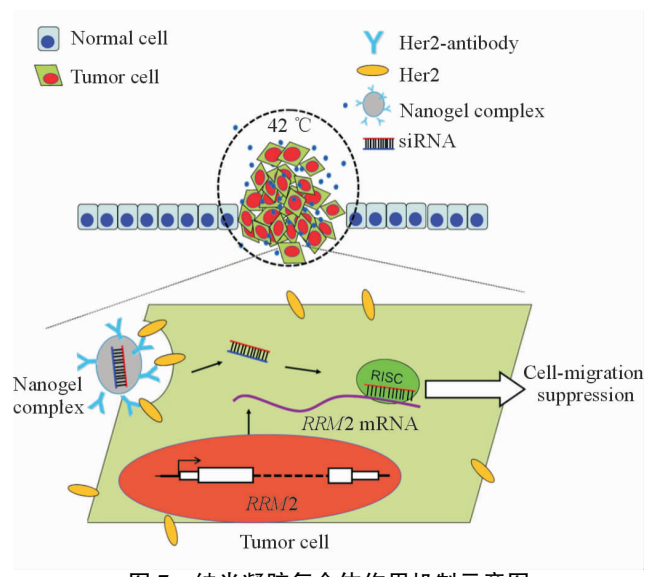


图 7 纳米凝胶复合体作用机制示意图

Fig 7 Schematic diagram of mechanism of nanogel complex Her2: Human epidermal growth factor receptor-2; RRM2: Ribonucleotide reductase subunit M2; RISC: RNA-induced silencing complex

### 「参考文献]

- [1] NALDINI L. Gene therapy returns to centre stage[J]. Nature, 2015, 526; 351-360.
- [2] BRENNER M K, GOTTSCHALK S, LEEN A M, VERA J F. Is cancer gene therapy an empty suit? [J]. Lancet Oncol, 2013, 14: 447-456.
- [3] CONG L, ZHANG F. Genome engineering using CRISPR-Cas9 system [M]//Chromosomal mutagenesis. Springer New York, 2015; 197-217.
- [4] ROY P, NOAD R. Virus-like particles as a vaccine delivery system: myths and facts[J]. Adv Exp Med Biol, 2009, 655: 145-158.
- [5] LI W, ZHANG L, ZHANG G, WEI H, ZHAO M, LI H, et al. The finely regulating well-defined functional polymeric nanocarriers for anti-tumor immunotherapy[J]. Mini Rev Med Chem, 2013, 13: 643-652.
- [6] LI W, GUO Q, ZHAO H, ZHANG L, LI J, GAO J, et al. Novel dual-control poly (*N*-isopropylacrylamide-co-chlorophyllin) nanogels for improving drug release [J]. Nanomedicine (Lond), 2012, 7: 383-392.
- [7] ZHANG C, NI D, LIU Y, YAO H, BU W, SHI J. Magnesium silicide nanoparticles as a deoxygenation agent for cancer starvation therapy [J]. Nat Nanotechnol, 2017, 12: 378-386.
- [8] AL-AHMADY Z, KOSTARELOS K. Chemical components for the design of temperature-responsive vesicles as cancer therapeutics[J]. Chem Rev, 2016,

- 116: 3883-3918.
- [9] MA M, ZHANG Q, DOU J, ZHANG H, GENG W, YIN D, et al. Fabrication of 1D Fe<sub>3</sub>O<sub>4</sub>/P(NIPAM-MBA) thermosensitive nanochains by magnetic-field-induced precipitation polymerization[J]. Colloid Polym Sci, 2012, 290; 1207-1213.
- [10] HARPER K L, SOSA M S, ENTENBERG D, HOSSEINI H, CHEUNG J F, NOBRE R, et al. Mechanism of early dissemination and metastasis in Her2<sup>+</sup> mammary cancer[J/OL]. Nature, 2016. doi: 10.1038/nature20609. [Epub ahead of print].
- [11] BARTLEY A N, WASHINGTON M K, COLASACCO C, VENTURA C B, ISMAILA N, BENSON A B 3<sup>rd</sup>, et al. HER2 testing and clinical decision making in gastroesophageal adenocarcinoma; guideline from the College of American Pathologists, American Society for Clinical Pathology, and the American Society of Clinical Oncology [J]. J Clin Oncol, 2017, 35; 446-464.
- [12] SANOFF H K. Targeting HER2 beyond progression in gastroesophageal cancer [J]. Lancet Oncol, 2017, 18: 562-564.
- [13] BOKU N. HER2-positive gastric cancer[J]. Gastric Cancer, 2014, 17: 1-12.
- [14] LEEHOEFLICH ST, CROCKER L, YAO E, PHAM T, MUNROE X, HOEFLICH K P, et al. A central role for HER3 in *HER2*-amplified breast cancer: implications for targeted therapy [J]. Cancer Res, 2008, 68: 5878-5887.
- [15] PFISTER S X, MARKKANEN E, JIANG Y, SARKAR S, WOODCOCK M, ORLANDO G, et al. Inhibiting WEE1 selectively kills histone H3K36me3-deficient cancers by dNTP starvation[J]. Cancer Cell, 2015, 28: 557-568.
- [16] DUXBURY M S, WHANG E E. RRM2 induces NF
  κB-dependent MMP-9 activation and enhances cellular invasiveness [J]. Biochem Biophys Res Commun, 2007, 354: 190-196.
- [17] RASMUSSEN R D, GAJJAR M K, TUCKOVA L, JENSEN K E, MAYA-MENDOZA A, HOLST C B, et al. BRCA1-regulated RRM2 expression protects glioblastoma cells from endogenous replication stress and promotes tumorigenicity[J]. Nat Commun, 2016, 7: 13398.
- [18] ZOLNIK B S, GONZAÁLEZ-FERNAÁNDEZ Á, SADRIEH N, DOBROVOLSKAIA M A. Nanoparticles and the immune system [ J ]. Endocrinology, 2010, 151: 458-465.

[本文编辑] 杨亚红